

سنتر زیستی نانوذرات طلا با استفاده از تراوش‌های بذر گیاه شبدر ایرانی

مهرداد خاتمی^{۱*}، میثم سلطانی نژاد^۲، کیقباد کیکاووسی^۳

چکیده

زمینه و هدف: سنتر نانوذرات طلا به دلیل کاربردهای فراوان در شناسایی عوامل بیماری‌زا، درمان سرطان و دارورسانی هدفمند، بسیار ارزشمند است. در این مطالعه سنتر نانوذرات طلا با استفاده از تراوش‌های بذر گیاه زراعی شبدر به عنوان منبع طبیعی هر دو عامل کاهش‌دهنده و پایدار‌کننده بررسی شد.

روش بودرسی: تغییر رنگ تراوش‌های بذر شبدر بلافاصله بعد از تیمار با هیدروژن تراکلرید طلا، اولین علامت قابل مشاهده از سنتر نانوذرات طلا را نشان داد. نانوذرات تولید شده با استفاده visible UV اسپکتروفوتومتری، پراش اشعه ایکس، طیف‌سنجی مادون قرمز تبدیل فوریه و عکس‌برداری الکترونی عبوری، تعیین مشخصات شد.

یافته‌ها: پیک قوی و پهن visible UV اسپکتروفوتومتری در طول موج ۵۳۴ نانومتر، تشکیل نانوذرات طلا را نشان داد. الگوی پراش اشعه ایکس، تشکیل ساختار کریستالی نانوذرات طلا را تأیید کرد. نتایج طیف‌سنجی مادون قمز تبدیل فوریه، نشان دهنده در گیری گروه‌های آروماتیک، آمین و کربوکسیل موجود در تراوش‌های بذر شبدر ایرانی در سنتر نانوذرات طلا بود. عکس الکترونی عبوری، تشکیل نانوذرات کروی شکل را با اندازه ۱-۳۰ نانومتر و با بیشترین فراوانی در اندازه ۲۰-۲۵ نانومتر مشخص کرد. نانوذرات طلا سنتز شده تا ۲ ماه در شرایط آزمایشگاهی، بدون هیچ گونه تولید رسواب یا کاهش در فراوانی نانوذرات طلا، پایدار ماند.

نتیجه‌گیری: با توجه به نتایج این مطالعه، سنتر زیستی نانوذرات طلا، بسیار کم‌هزینه و بدون نیاز به مصرف انرژی است. نانوذرات طلا سنتز شده دارای اندازه بسیار مناسبی بوده که برای استفاده در مطالعات مرتبط با شناسایی عوامل بیماری‌زا، درمان سرطان و دارورسانی هدفمند می‌تواند مورد استفاده قرار گیرد.

کلید واژه‌ها: سنتر زیستی؛ متابولیسم؛ نانوذرات طلا؛ پراش اشعه ایکس.

^۱دانشگاه علوم پزشکی بم، بم، ایران.

^۲دانشگاه شهید باهنر کرمان، کرمان، ایران.

^۳دانشکده فنی و مهندسی، واحد زاهدان، دانشگاه آزاد اسلامی، سیستان و بلوچستان، ایران.

*نویسنده مسئول مکاتبات:

مهرداد خاتمی، دانشگاه علوم پزشکی بم، بم، ایران؛

آدرس پست الکترونیکی:
mehrdad7khatami@gmail.com

تاریخ دریافت: ۹۴/۴/۶

تاریخ پذیرش: ۹۴/۵/۱۲

لطفاً به این مقاله به صورت زیر استناد نمایید:

Khatami M, Soltaninejad M, Kaikavoozi K. Biosynthesis of gold nanoparticles using persian clover seed extracts. Qom Univ Med Sci J 2016;10(2):23-30.

مقدمه

به روشی بیولوژیک در شرایط دما و فشار استاندارد (اتاق)، بدون استفاده از حلال‌های شیمیایی به عنوان کاهش‌دهنده و پایدارکننده بررسی شد.

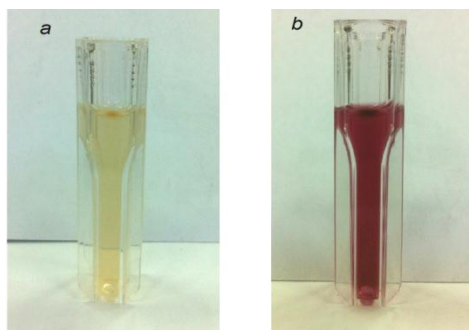
روش بررسی

در این مطالعه ابتدا هیدروژن ترا کلراید طلا (HAuCl_4) از شرکت مرک آلمان تهیه گردید و سپس بذر گیاه شبدار ایرانی در محوطه دانشگاه کرمان شناسایی، جمع‌آوری و در هرباریوم گروه فارماکوگنوژی دانشکده داروسازی، دانشگاه علوم پزشکی کرمان با شماره Kf1609، ذخیره و به شرح زیر مورد استفاده قرار گرفت:

- ۱- تهیه تراوش بذر: مقدار ۲۰ گرم بذر گیاه شبدار ایرانی برای حذف گرد و خاک سطحی، ۲ بار و هر بار یک دقیقه با آب شست و شو داده شد. در مرحله بعد، بذرها به مدت ۴ دقیقه با محلول هیپوکلرید سدیم ۱٪، ضدغونی و سپس ۳ بار و هر بار به مدت ۲ دقیقه با آب ۲ بار تقطیرشده استریل شست و شو داده شدند. در نهایت، بذرها به مدت ۲ دقیقه با الكل ۷۰٪، ضدغونی شدند. به منظور تهیه تراوش‌های بذر، بذرها ضدغونی شده داخل هود لامینار به اrlen حاوی ۱۵۰ میلی‌لیتر آب دیونیزه استریل اضافه گردید و به مدت ۷ روز در دمای ۲۸ درجه سانتیگراد و در تاریکی قرار گرفتند، سپس بذرها بیرون ریخته شدند و مایع رویی باقیمانده، به منظور حذف هرگونه ذره درشت با ۴۵۰۰ دور بر دقیقه به مدت ۱۰ دقیقه سانتریفیوژ شد که در نهایت، با استفاده از کاغذ واتمن شماره ۴۲ فیلتر گردید و تا انجام مراحل بعدی در دمای ۴ درجه سانتیگراد در تاریکی نگهداری شد (۹). از عصاره حاصل برای ستنتر نانوذرات طلا استفاده گردید.

۲- ستنتر نانوذرات طلا: به منظور ستنتر نانوذرات طلا، ۳۰ میلی‌لیتر از تراوش‌های بذر حاصل، با غلظت نهایی ۱ میلی‌مولار هیدروژن ترا کلراید تیمار شد. تغییر رنگ عصاره از زرد روشن به قرمز بعد از تیمار تراوش‌ها با هیدروژن ترا کلراید طلا، به عنوان اولین علامت نشانگر ستنتر نانوذرات طلا ظاهر گردید (شکل شماره ۱).

نانوذرات فلزی از جمله نانوذرات طلا و نقره به علت طیف وسیع کاربردشان در علوم مختلف پزشکی، کشاورزی، فیزیک و شیمی، مورد توجه بسیاری از دانشمندان قرار دارند. از کاربردهای مهم نانوذرات طلا می‌توان به کاربرد در علوم زیستی و پزشکی (۱)، دارورسانی، کاتالیزوری در شیمی (۲)، اینمی‌سنجد (۳) و درمان سرطان (۴) اشاره کرد. روش‌های متفاوت فیزیکی، شیمیایی و زیستی برای ستنتر نانوذرات طلا و نقره وجود دارد. ستنتر نانوذرات فلزی با استفاده از روش‌های فیزیکی و شیمیایی به دلیل معایبی از جمله چندمرحله بودن فرآیند ستنتر، وابسته بودن به دستگاه‌های پیشرفته، نیاز به صرف انرژی زیاد و تولید مواد آلوده کننده محیط زیست؛ با محدودیت روپرتو است. بنابراین، روش‌های زیستی ستنتر نانوذرات با استفاده مستقیم (۵) و غیرمستقیم (عصاره، تراوش) از موجودات زنده مانند باکتری‌ها (۶)، قارچ‌ها و گیاهان (۷،۸) مطرح شده است. به دلیل احتمال وجود بیماری‌زایی در برخی عوامل میکروبی و سخت بودن مراحل کشت اکتینومیست، باکتری و قارچ، و نیاز به محیط کشت‌های پیچیده و گران‌قیمت، هم‌اکنون ستنتر زیستی نانوذرات فلزی، به ویژه طلا و نقره با استفاده از گیاهان مختلفی که هر کدام حاوی ترکیبات متفاوتی است، مورد توجه واقع شده است (۹،۱۰). تاکنون ستنتر نانوذرات طلا با گیاهانی نظری آلوئه‌ورا (۱۱) و یونجه (۵) گزارش شده است. شبدار ایرانی، گیاهی زراعی است که در ایران بیشتر به عنوان علوفه دام مصرف می‌شود و غنی از پروتئین، آتریم‌ها و حاوی ساپونین و ترکیبات فلزی (فنولیک اسید و فلاونوئید) می‌باشد که می‌توانند به عنوان ترکیبات طبیعی گیاهی باعث کاهش یون طلا و تبدیل آنها به نانوذرات طلای پایدار شوند (۱۲،۱۳). عصاره‌های گیاهی تهیه شده از برگ، ساقه، ریشه، گل و بذر گیاهان، به واسطه تفاوت در ترکیبات، اثرات متفاوتی بر میزان و مشخصات نانوذرات تولیدی دارند. در این مطالعه از تراوش‌های بذر گیاه شبدار ایرانی به عنوان روشنی ساده، کم هزینه و بدون نیاز به استفاده از مواد مخرب محیط زیست و سریع برای ستنتر زیستی نانوذرات طلا استفاده گردید، و ستنتر نانوذرات طلا



شکل شماره ۱: تغییر رنگ تراوش‌های بذر شبدر ایرانی از زرد روشن (a) به قرمز (b)، بالاصله بعد از تشکیل نانوذرات طلا.

هر کدام جداگانه به مدت ۱۰ دقیقه در ۶۰۰۰ دور بر دقيقه سانتریفوژ شدند و بعد از بیرون ریختن فاز رویی، نمونه‌ها در ۶۰ درجه سانتیگراد به مدت ۴۸ ساعت خشک شده و سپس جهت آنالیز پودر حاصل، از دستگاه FTIR (مدل 27 Tensor 27 آلمان) استفاده گردید.

۴.۳. عکس‌برداری الکترونی (TEM): ۵ میلی‌لیتر از سوسپانسیون تراوش‌های بذری حاوی نانوذرات طلا سنتز شده، به مدت ۵ دقیقه اولتراسونیک شدند. سپس مقداری از آن روی گرید دارای فیلم کربنی ریخته شد و در مجاورت هوا در دمای اتاق و بدون استفاده از حرارت خشک گردید. عکس‌برداری الکترونی عبوری از گرید حاصل برای تعیین اندازه، شکل و نحوه توزیع نانوذرات طلا با استفاده از دستگاه میکروسکوپ الکترونی عبوری (مدل ZEISS، ساخت آلمان) انجام گرفت.

یافته‌ها

سنتز نانوذرات طلا با کاهش یون طلا از Au^{3+} به Au^0 با چشم غیر مسلح به روشنی قابل تشخیص بود. بدین صورت که در کمتر از یک ساعت بعد از تیمار تراوش‌های بذر گیاه شبدر ایرانی با هیدروژن تراکلرید طلا، تغییر رنگ از زرد روشن به قرمز رخ داد، در صورتی که در تراوش‌های بذری شاهد فاقد تیمار با هیدروژن تراکلرید، تغییر رنگی مشاهده نشد (شکل شماره ۱). طیف جذبی حاصله از UV visible اسپکتروفوتومتری تراوش‌های بذری حاوی نانوذرات طلا، پیک جذبی قوی و پهن را در طول موج ۵۳۴ نانومتر نشان داد، در حالی که تراوش‌های بذری گیاه شاهد فاقد هرگونه جذبی در طول موج فوق بود (شکل شماره ۲). بنابراین، سنتز نانوذرات طلا با استفاده از تراوش‌های بذری گیاه شبدر ایرانی تأیید گردید.

۳- تعیین مشخصات نانوذرات

۳.۱ UV visible اسپکتروفوتومتری: به منظور مطالعه قابلیت ترکیب‌های طبیعی تراوش شده از بذر شبدر ایرانی در تبدیل یون طلا تولید شده از محلول هیدروژن تراکلرید طلا به نانوذرات طلا، نمونه با استفاده از دستگاه UV visible اسپکتروفوتومتری جذبی از نوع Scan Drop (محصول شرکت Analytic Jena ساخت آلمان) با توجه به طول موج جذبی نانوذرات طلا در دامنه ۴۰۰-۵۵۰ نانومتر (۱۷-۲۴) و در طول موج با دامنه ۵۰۰-۷۰۰ نانومتر بررسی شد.

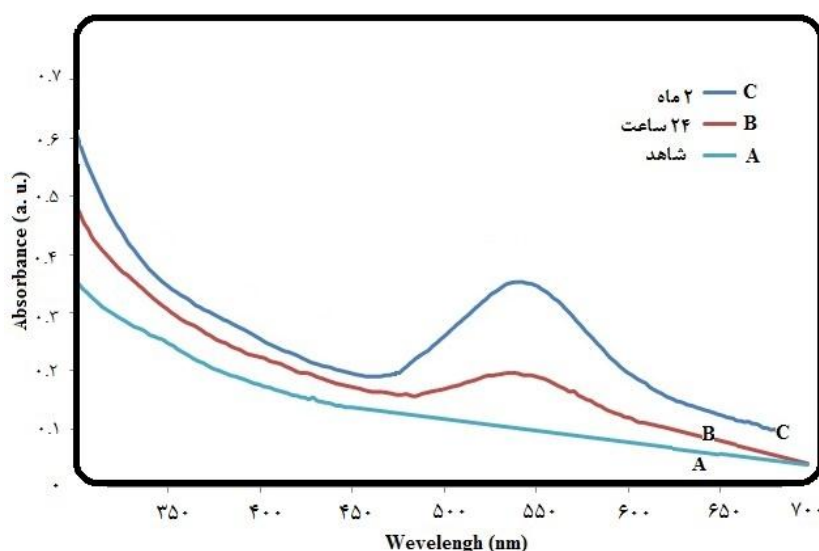
۳.۲ پراش اشعه ایکس (X-ray diffraction): برای بررسی قابلیت تراوش‌های بذر شبدر ایرانی در تشکیل کریستال‌های طبیعی طلا، آنالیز پراش اشعه ایکس انجام گرفت. جهت تهیه نمونه پودری جهت انجام آنالیز، میزان ۳۰ میلی‌لیتر از سوسپانسیون نانوذرات طلا سنتز شده با دور ۱۵۰۰۰ دقیقه در دمای ۲۵ درجه سانتیگراد به مدت ۱۰ دقیقه سانتریفوژ و مایع رویی بیرون ریخته شد و دوباره با استفاده از آب دیونیز به حجم ۳۰ میلی‌لیتر رسانده شد. این کار ۳ بار تکرار شد و رسوب نهایی در دمای ۶۰ درجه به مدت ۲۴ ساعت خشک و از پودر حاصله برای آنالیز پراش اشعه ایکس با استفاده از دستگاه مدل PERTPRO X (PANalitical ساخت هلند) و با تابش $\lambda=540\text{ nm}$ در زاویه $2\theta=20-85^\circ$ درجه با دامنه ۲۰-۸۵ استفاده شد.

۳.۳ طیف‌سنجی مادون قرمز تبدیل فوریه (FTIR): آنالیز طیف‌سنجی مادون قرمز تبدیل فوریه برای تعیین مولکول‌ها و گروه‌های عاملی زیستی مسئول سنتز نانوذرات طلا انجام شد. برای آماده‌سازی نمونه پودری برای انجام آنالیز، ۱۰ میلی‌لیتر از سوسپانسیون تراوش‌های بذر شبدر فاقد نانوذرات و ۱۰ میلی‌لیتر سوسپانسیون تراوش‌های بذری حاوی نانوذرات طلا سنتز شده،

ماند (نمودار شماره ۱).

نانوذرات طلا سنتزشده تا ۲ ماه در شرایط دمای ۲۷ درجه

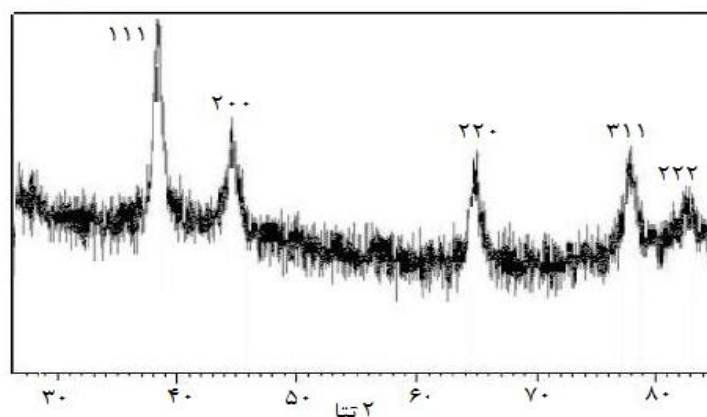
سانتیگراد و در تاریکی، بدون هیچ گونه تولید رسوب، پایدار باقی



نمودار شماره ۱: طیف اسپکتروفوتومتری نانوذرات طلا سنتزشده با تراوش‌های بذر شبدر ایرانی در زمانهای مختلف زمان صفر B: ۲۴ ساعت و C: ۲ ماه بعد از تیمار با هیدروژن تراکلرید طلا.

الگو طیف به دست آمده از پراش اشعه ایکس در زاویه ۲۰ و در درجه با دامنه ۸۵-۲۰، پیک‌های قوی در درجه‌های ۳۸، ۴۴، ۶۴، ۷۷ و ۸۲ را نشان داد که به ترتیب با سطوح کریستالی ۱۱۱، ۲۰۰، نمونه نشان داده است (نمودار شماره ۲).

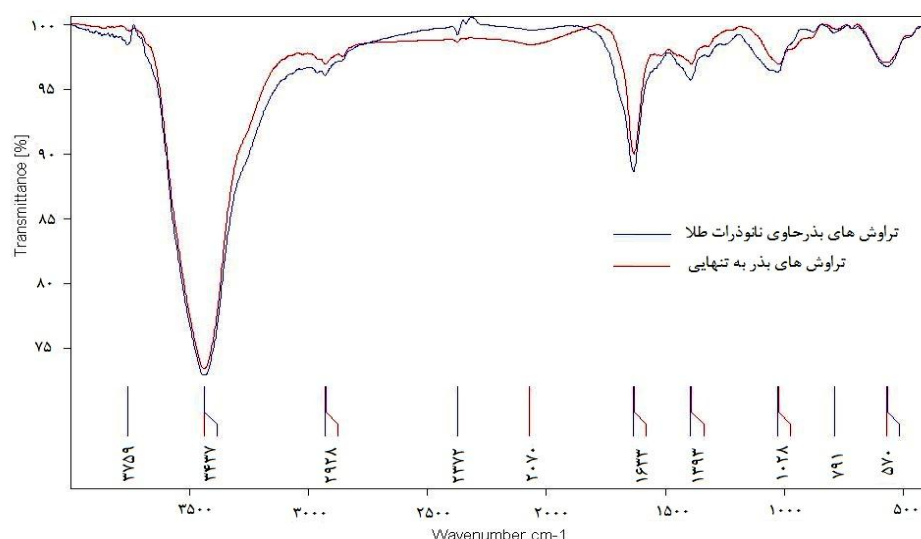
۳۱۱، ۲۲۰، ۲۲۲ و ۳۱۱ مرتبط بودند. الگو پراش اشعه ایکس نیز سنتز نانوذرات طلا را در ساختار مکعبی مراکز وجوده پُر (FCC) در



نمودار شماره ۲: الگوی پراش اشعه ایکس نانوذرات سنتزشده با تراوش‌های بذر گیاه شبدر ایرانی.

مانند ترکیبات فلزی را نشان می‌دهد، ولی ممکن است گروههای آزاد آمیدی (NH_2) و کربوکسیلی (COOH) با اثر متقابل با سطح طلا، نانوذرات طلای پایدار تولید کنند. باندهای ضعیف در 2926 cm^{-1} و 2928 cm^{-1} مربوط به گروههای نامتقارن C-H است. نتایج حاصل از مادون قرمز تبدیل فوریه، حضور گروههای آروماتیک اسیدآمینه‌ها را به عنوان هر دو عامل کاهش دهنده و پایدار کننده نانوذرات طلا نشان می‌دهد (نمودار شماره ۳).

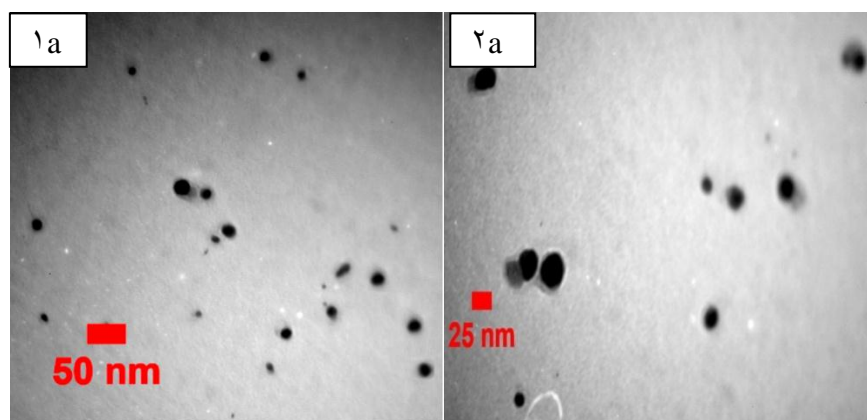
نمودار شماره ۳ طیف حاصل پیک قوی و پنهانی را در 3437 cm^{-1} نشان می‌دهد. پیک موجود در محدوده 1633 cm^{-1} و 1393 cm^{-1} به دلیل حضور گروههای کربوکسیلی C=O و C-O می‌باشد (۱۵، ۱۶). پیک قوی در 1631 cm^{-1} مربوط به گروه آمید- N-H و پیک 1633 cm^{-1} مربوط به گروه آمید-۲ می‌باشد (۱۷). پیک آمید-۱ در تراوش‌های بذر نسبت به آمید-۲ در تراوش‌های بذر حاوی نانوذرات طلا تغییر می‌کند. هرچند در طیف حاصل از مادون قرمز تبدیل فوریه گروههای عاملی متفاوتی



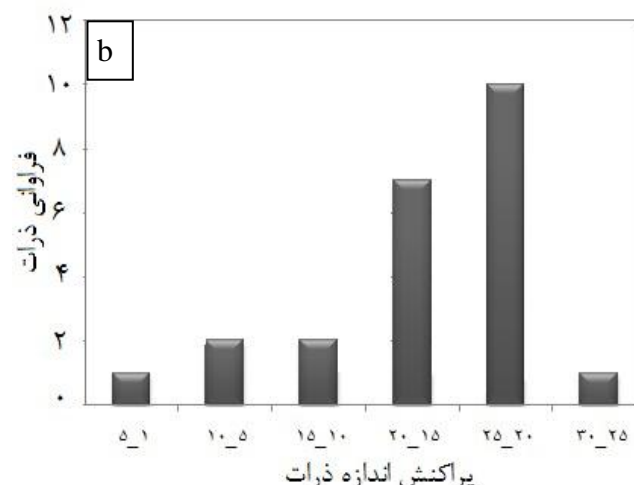
نمودار شماره ۳: طیف مادون قرمز تبدیل فوریه تراوش‌های بذر شبدر و تراوش‌های بذر شبدر حاوی نانوذرات طلا. فرکانس‌های ارتعاشی مختلف حاصل از طیف‌سنجی مادون قرمز تبدیل فوریه روی تراوش‌های بذر و تراوش‌های حاوی نانوذرات سنتزشده در محدوده $400\text{--}4000\text{ cm}^{-1}$.

طلا در اندازه‌ای با دامنه $1\text{--}30$ نانومتر با بیشترین فراوانی در محدوده با دامنه $20\text{--}25$ نانومتر می‌باشد (نمودار شماره ۴).

عکس‌برداری الکترونی عبوری، سنتز نانوذرات طلا کروی در شکل را اثبات کرد (شکل B - A). نتایج، بیانگر سنتز نانوذرات



شکل ۲-۲: A: عکس الکترونی عبوری نانوذرات طلا سنتزشده با تراوش‌های بذر گیاه شبدر ایرانی در مقیاس ۵۰ نانومتر (۱a) و ۲۵ نانومتر (۲a).



نمودار شماره ۴: پراکنش اندازه نانوذرات طلا مشاهده در عکس الکترونی عبوری (b).

بحث

آزاد الفا به وسیله تعامل با میدان الکترومغناطیسی است که برای هر نوع ذرات در هر اندازه، ذرات اختصاصی و مخصوص خود آن نانوذرات می‌باشد (۲۱). نتایج حاصل از مادون قرمز تبدیل فوریه، تأثیر احتمالی اسیدآمینه‌ها را به عنوان هر دو عامل کاهش دهنده و پایدار کننده نانوذرات طلا نشان داد. پیش از این نیز Bankar و همکاران تأثیر پروتئین‌ها را بر سنتز نانوذرات گزارش کردند (۱۶). همچنین در تحقیقی که اخیراً منتشر شده است نانوذرات طلا با استفاده از پروتئین خالص شده، سنتز شد که تأیید کننده تأثیر پروتئین‌ها و اسیدآمینه‌های موجود در عصاره گیاهی در سنتز می‌باشد (۲۲). اگرچه نقش پروتئین‌ها در فرآیند سنتز نانوذرات به اثبات رسیده است، اما مکانیزم عمل آن هنوز مشخص نشده و حتی گزارش‌هایی مبنی بر تأثیر سایر ترکیبات زیستی موجود عصاره در سنتز نانوذرات موجود است، به طوری که عصاره Filippo و همکاران در مطالعه خود تأثیر کربوهیدرات‌ها مانند گلوکر، مالتوز (۲۳)، Speth و Varma نیز اثر فلاونوئیدها در سنتز نانوذرات را گزارش کردند (۲۴). نتایج پراش اشعه ایکس به دست آمده در این تحقیقات کاملاً مشابه نتایج منتشر شده قبلی است (۷،۶). عکس برداری الکترونی عبوری، سنتز نانوذرات طلای کروی‌شکل را در اندازه‌ای با دامنه بین ۱–۳۰ نانومتر با بیشترین فراوانی در اندازه‌ای با دامنه بین ۲۰–۲۵ نانومتر نشان می‌دهد، به طور کلی نانوذرات طلای سنتز شده، اندازه‌ای زیر ۲۵ نانومتر دارند. Narayanan و Sakthivel، سنتز نانوذرات را در محدوده اندازه بین تقریباً ۶–۶۰ نانومتر گزارش کردند (۲۵). Shi و همکاران نیز با استفاده از گیاه *Pycnoporus sanguineus* نانوذرات طلا را با اندازه‌ای در محدوده ۳۰–۶۰ نانومتری سنتز کردند (۲۶). سلطانی‌ژزاد و همکاران نیز با استفاده از روش زیستی، سنتز نانوذرات طلا را در محدوده اندازه بین ۱۰–۱۰۰ نانومتری گزارش کردند (۱۹). همچنین اسلام و همکاران با استفاده گال درخت پسته، سنتز نانوذرات طلا را در محدوده اندازه بین ۲۰–۲۰۰ نانومتری گزارش کردند (۲۷)، که بسیار دامنه وسیعی را شامل می‌شود، اما نانوذرات سنتز شده در این تحقیقات، دامنه اندازه محدودتر و همگن‌تری را نشان می‌دهد که می‌تواند باعث افزایش کارآیی در فعالیت‌های پزشکی و آزمایشگاهی گردد. سوپسانسیون نانوذرات طلا سنتز شده تا ۲ ماه در شرایط اتاق،

نانوپیوتکنولوژی دارای حوزه مهمی از تحقیقات در مورد سنتز زیستی نانوذرات طلا می‌باشد. از مهم‌ترین کاربردهای نانوذرات طلا، پتانسیل بالای آن در درمان سرطان است (۱۵). سنتز زیستی نانوذرات طلا در واقع، قدمی برای سبز نگهداشتن محیط زیست است؛ زیرا توسعه و کشف راههای بیولوژیکی برای سنتز نانوذرات باعث جایگزینی روش زیستی به جای روش‌های شیمیایی رایجی می‌شود که برای سنتز نانوذرات نیاز به مصرف انرژی بالا، حللاهای شیمیایی و تولید مواد آلوده کننده محیط زیست دارند. در مطالعه حاضر برای سنتز زیستی نانوذرات طلا، به هیچ‌گونه انرژی و حللاهای شیمیایی نیاز نبود و تراوش‌های بذر گیاه شبدر ایرانی، توانایی بالای در سنتز نانوذرات طلا از محلول ترا کلرید طلا را نشان دادند. بنابراین، این ترکیبات می‌توانند به عنوان یک منبع زیستی تولید نانوذرات طلا قابل حل در آب برای تولید در مقیاس صنعتی مورد استفاده قرار گیرند.

نتایج آنالیزها سنتز نانوذرات طلا را تأیید می‌کند. تغییر رنگ و طیف جذبی حاصله از UV visible اسپکتروفوتومتری تراوش‌های بذری حاوی نانوذرات طلا، پیک جذبی قوی و پهن در ۵۳۴ نانومتر را نشان داد که بسیار مشابه با نتایج منتشر شده قبلی می‌باشد (۱۸،۱۴). سلطانی‌ژزاد و همکاران در مطالعه خود، پیک طیف جذبی حاصله از UV visible اسپکتروفوتومتری را در ۵۵۰ نانومتری نشان دادند که مربوط به نانوذرات طلای مثنی شکل با اندازه بین ۲۰–۵۰ نانومتری بود (۱۹). اختلاف بین نتایج این تحقیق (۵۳۴ نانومتر) و نتایج سلطانی‌ژزاد و همکاران به علت تفاوت در اشکال و محدوده نانوذرات سنتز شده در دو تحقیق است و نشان‌دهنده، تأثیر شکل و اندازه ذرات سنتز شده بر حداکثر جذب در طیف مذکور می‌باشد. افزایش میزان جذب مشاهده شده در طیف جذبی حاصله از UV visible اسپکتروفوتومتری در طول زمان به علت افزایش میزان تبدیل یون طلا به نانوذرات طلا بوده و نشان‌دهنده تبدیل یون‌های طلا به نانوذرات طلا در طول زمان مشخص است (۲۰). تغییر رنگ و پیک مشاهده شده در طول موج ۵۳۴ نانومتری در طیف اسپکتروفوتومتری منسوب به رزونانس پلاسمون سطحی (SPR)، ناشی از نوسانات جمعی الکترون‌های

تشکر و قدردانی

بدون هیچ گونه رسوبات، پایدار باقی ماندند.

نتیجه‌گیری

با توجه به نتایج این مطالعه می‌توان از تراوش‌های بذر گیاه شبدیر ایرانی به عنوان روشی ساده، کم هزینه و بدون نیاز به استفاده از مواد مخرب محیط زیست و سریع برای سنتر زیستی نانوذرات طلا استفاده کرد. در این مطالعه سنتر نانوذرات طلا به روشی بیولوژیک در شرایط دما و فشار استاندارد (اتاق)، بدون استفاده از حلال‌های شیمیایی به عنوان کاهش‌دهنده و پایدارکننده انجام شد و نانوذرات طلا کروی شکل با اندازه تقریباً همگن با بیشترین فراوانی، در محدوده اندازه ۲۰–۲۵ نانومتری تولید شدند.

References:

1. Jain S, Hirst DG, JO'Sullivan M. Gold nanoparticles as novel agents for cancer therapy. *Br J Radiol* 2012;85(1010):101-13.
2. Khatami M, Pourseyedi S. Phoenix dactylifera (Date Palm) pit aqueous extract mediated novel route for synthesis high stable silver nanoparticles with high antifungal and antibacterial activity. *IET Nanobiotechnol* 2015;9(4):184-90.
3. Lewis LN. Chemical catalysis by colloids and clusters. *Chem Rev* 1993;93(8):2693–730.
4. Lee KB, Kim EY, Mirkin CA, Wolinsky SM. The use of nanoarrays for highly sensitive and selective detection of human immune deficiency virus Type 1 in plasma. *Nano Lett* 2004;4(10):1869–72.
5. Gardea-Torresdey JL, Parsons JG, Gomez E, Peralta-Videa J, Troiani HE, Santiago P. Formation and growth of au nanoparticles inside live Alfalfa plants. *Nano Lett* 2002;2(4):397-401.
6. Soltani Nejad M, Khatami M, Shahidi Bonjar GH. Streptomyces somaliensis mediated green synthesis of silver nanoparticles. *Nanomedicine J* 2015;2(3):217-22.
7. Khatami M, Soltani Nejad M, Pourseyedi S. biogenic synthesis of silver nanoparticles using mustard and its characterization. *Int J Nanosci Nanotech* 2015;11(4):281-8.
8. Khatami M, Soltani Nejad M, Khatami M, Keikvousi K. Antimicrobial effect of silver nanoparticles synthesized using weed seed exudates against of *Bacillus cereus* and *Acinetobacter baumannii*. *J Microbiol World* 2015;8(122):18-25.
9. Khatami M, Pourseyedi S, Khatami M, Hamidi H, Zaeifi M, Soltani L. Synthesis of silver nanoparticles using seed exudates of *Sinapis arvensis* as a novel bioresource, and evaluation of their antifungal activity. *Bioresour Bioproc* 2015;2(19):1-7.
10. Pulit J, Banach M. Environment friendly method for obtaining gold nanoparticles based on plant extract. *Digest J Nanomater Biostruct* 2013;8(3):1295-300.
11. Chandran SP, Chaudhary M, Pasricha R, Ahmad A, Sastry M. Synthesis of gold nanotriangles and silver nanoparticles using *Aloe vera* plant extract. *Biotechnol Prog* 2006;22(2):577-83.
12. Oleszek W, Stochmal A, Janda B. Concentration of isoflavones and other phenolics in the aerial parts of *Trifolium* species. *J Agric Food Chem* 2007;55(20):8095-100.

13. Simonet AM, Stochmal A, Oleszek W, Macias FA. Saponins and polar compounds from *Trifolium resupinatum*. *Phytochemistry* 1999;51(8):1065-67.
14. Francis G, Thombre R, Parekh F, Leksminarayanan P. Bioinspired synthesis of gold nanoparticles Using *Ficus benghalensis* (Indian Banyan) Leaf Extract. *Chem Sci Trans* 2014;3(1):470-74.
15. Lokina S, Narayanan V. Antimicrobial and anticancer activity of gold nanoparticles synthesized from grapes fruit extract. *Chem Sci Trans* 2013;2(S1):105-10.
16. Bankar A, Joshi B, Kumar AR, Zinjarde S. Banana peel extract mediated novel route for synthesis of silver nanoparticles. *Colloids Surf A Physicochem Eng Asp* 2010;368(1-3):58-63.
17. Li Z, Hulderman T, Salmen R, Chapman R, Leonard SS, Young SH, et al. Cardiovascular effects of pulmonary exposure to single-wall carbon nanotubes. *Environ Health Perspect* 2007;115(3):377-82.
18. Ahmad A, Senapathi S, Khan MI, Kumar R, Sastry M. Extracellular biosynthesis of monodisperse gold nanoparticles by a novel extremophilic actinomycete, *Thermomonospora* sp. *Langmuir* 2003;19(8):3550-53.
19. Soltani Nejad M, Khatami M, Shahidi Bonjar GH. Extracellular synthesis gold nanotriangles using biomass of *Streptomyces microflavus*. *IET Nanobiotechnol* 2016;10(1):33-8.
20. Krishnaraj C, Jagan EG, Rajasekar S, Selvakumar P, Kalaichelvan PT, Mohan N. Synthesis of silver nanoparticles using *Acalypha indica* leaf extracts and its antibacterial activity against water borne pathogens. *Colloids Surf B Biointerfaces* 2010;76(1):50-6.
21. Bose D, Chatterjee S. Antibacterial activity of green synthesized silver nanoparticles using *Vasaka* (*Justicia adhatoda* L). *Indian J Microbiol* 2015;55(2):163-7.
22. Khana SA, Ahmad A. Enzyme mediated synthesis of water-dispersible, naturally protein capped, monodispersed gold nanoparticles; their characterization and mechanistic aspects. *RSC Adv* 2014;4:7729-34.
23. Filippo E, Serra A, Buccolieri A, Manno D. Green synthesis of silver nanoparticles with sucrose and maltose: Morphological and structural characterization. *J Non Cryst Solids* 2010;356(6-8):344-50.
24. Nadagouda MN, Speth TF, Varma RS. Microwave-assisted green synthesis of silver nanostructures. *Acc Chem Res* 2011;44(7):469-78.
25. Narayanan KB, Sakthivel N. Coriander leaves mediated biosynthesis of gold nanoparticals. *Mater Lett* 2008;62(30):4588-90.
26. Shi C, Zhu N, Cao Y, Wu P. Biosynthesis of gold nanoparticles assisted by the intracellular protein extract of *Pycnoporus sanguineus* and its catalysis in degradation of 4-nitroaniline. *Nanoscale Res Lett* 2015;10:147.
27. Islam UN, Jalil K, Shahida M, Muhammad N, Rauf A. *Pistacia integerrima* gall extract mediated green synthesis of gold nanoparticles and their biological activities. *Arabian J Chem* 2015.

Biosynthesis of Gold Nanoparticles Using Persian Clover Seed Extracts

Mehrdad Khatami^{1*}, Meysam Soltaninejad², Keyghobad Kaikavoosi³

¹Bam University of Medical Sciences, Bam, Iran.

²Bahonar University of Kerman, Kerman, Iran.

³Faculty of Technology & Engineering, Zahedan Branch, Islamic Azad University, Sistan & Baluchestan, Iran.

Abstract

Background and Objectives: Synthesis of gold nanoparticles is very valuable due to its numerous applications in detection of pathogens, cancer therapy and targeted drug delivery. In this study, the synthesis of gold nanoparticles using Persian clover seed extract as a natural source of both reducing and stabilizing agents, was investigated.

Methods: Change of the color of clover seed extract immediately after treatment with hydrogen gold tetrachloride showed the first visible sign of the synthesis of gold nanoparticles. The synthesized nanoparticles were characterized using UV visible spectrophotometry, X-ray diffraction (XRD), Fourier transform infrared spectroscopy (FTIR), and transmission electron imaging (TEM).

Results: The broad and strong peak of UV visible spectrophotometry at a wavelength of 534 nm indicated the formation of gold nanoparticles. X-ray diffraction pattern confirmed the formation of crystalline structure of gold nanoparticles. The results of Fourier transform infrared spectroscopy showed the involvement of aromatic, amine, and carboxyl groups exist in Persian clover seed extract in the synthesis of gold nanoparticles. Transmission electron image identified the formation of spherical nanoparticles with a size range of 1-30nm and with the most frequency in size of 20-25nm. Synthesized gold nanoparticles remained stable in vitro for up to 2 months with no sediment production or reduction in the frequency of gold nanoparticles.

Conclusion: With respect to the results of this study, biosynthesis of gold nanoparticles was very low-cost and without need of energy. The synthesized gold nanoparticles can be used in researches on detection of pathogens, cancer therapy, and targeted drug delivery.

Keywords: Biosynthesis; Metabolism; Gold nanoparticles; X-ray diffraction.

*Corresponding Author:
Mehrdad Khatami, Bam University of Medical Sciences, Bam, Iran.

Email:
mehrdad7khatami@gmail.com

Received: 27 Jun, 2015

Accepted: 3 Aug, 2015